



16.12.2019, Warszawa

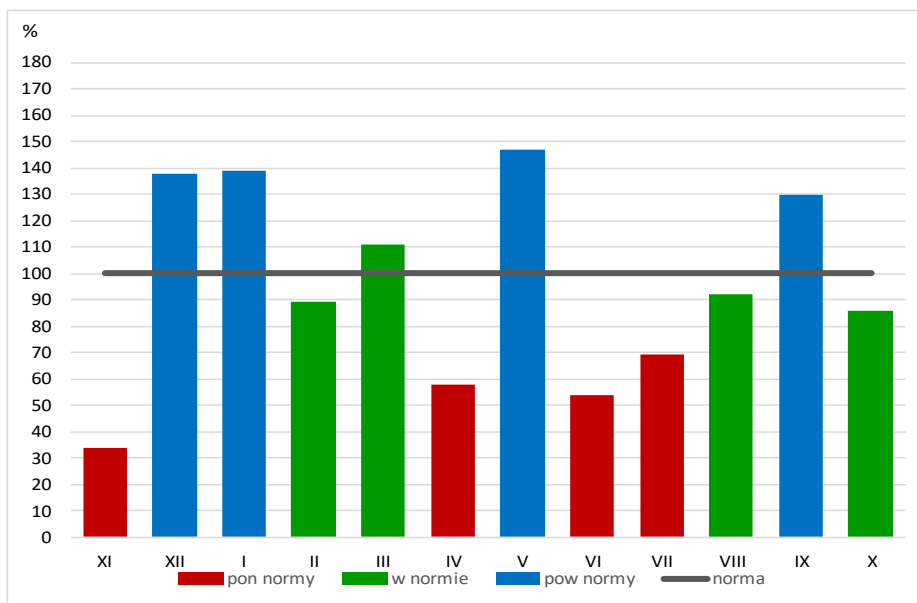
## **Komunikat Biura Prasowego IMGW-PIB**

### **Charakterystyka warunków wilgotnościowych w Polsce w roku hydrologicznym 2019**

Na warunki wilgotnościowe w warstwie glebowej oraz stan wód w rzekach wpływ ma nie tylko bieżąca pogoda, ale również przebieg warunków meteorologicznych w poprzedzających miesiącach. Dla sytuacji w okresie wczesno-wiosennym i wiosennym niezwykle istotny jest więc przebieg miesięcy zimowych, a nawet późnojesiennych roku poprzedniego. Z tego względu wprowadzono pojęcie roku hydrologicznego, który w warunkach polskich trwa od 1 listopada do 31 października. Obejmuje on pełen cykl zjawisk związanych z opadami atmosferycznymi i ich retencją w okresie zimowym, zwiększonym odpływem rzeczny w czasie topnienia śniegu oraz utratą wody w wyniku zwiększonego parowania z gleby i roślin w czasie lata.

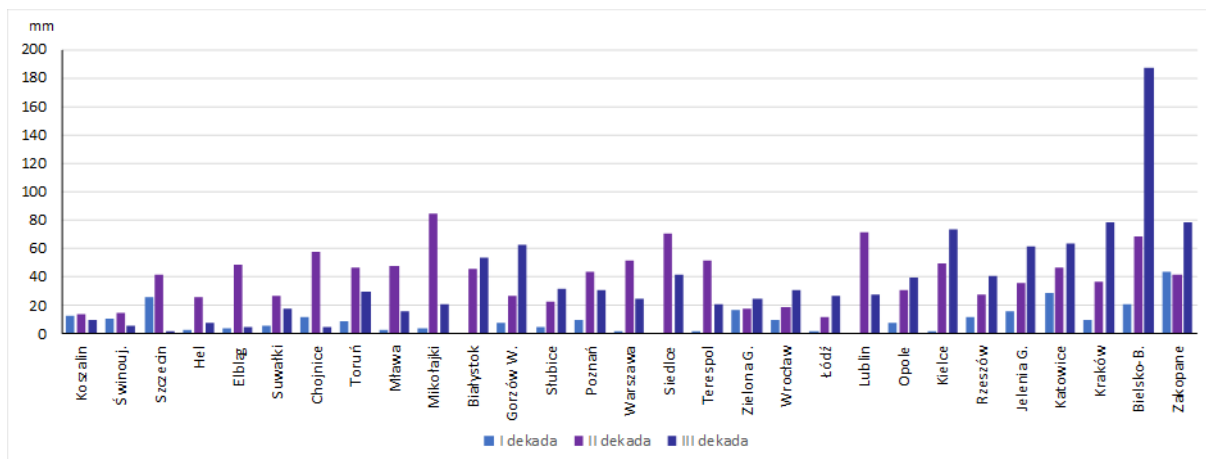
Taki hipotetyczny, uogólniony, rozkład w czasie poszczególnych zjawisk ulega bardzo często zachwianiu na skutek wystąpienia czynników meteorologicznych, które odbiegając od przeciętnych warunków dla danego okresu, powodują na przykład wystąpienie powodzi lub podtopień, suszy itp.

Rok hydrologiczny 2019 był okresem odbiegającym od warunków przeciętnych zarówno pod względem meteorologicznym, jak i hydrologicznym. Głęboka susza, którą obserwowaliśmy w 2018 roku zaczęła ustępować dopiero od grudnia. Jeszcze w listopadzie, czyli pierwszym miesiącu hydrologicznego roku 2019, notowano w Polsce wyjątkowo niskie sumy opadów atmosferycznych (rys. 1).



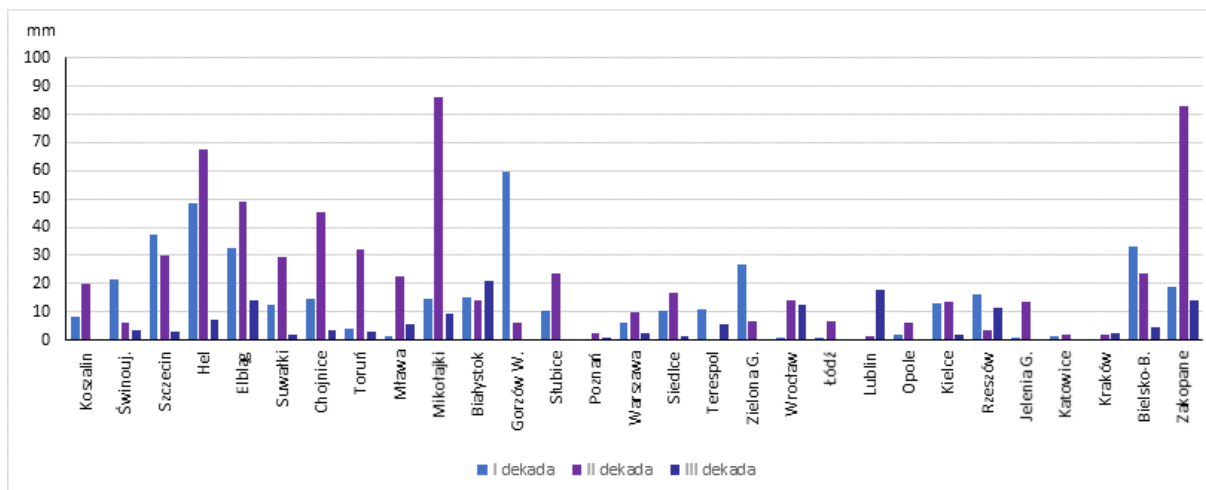
*Rys. 1. Sumy miesięczne opadów atmosferycznych w Polsce w okresie 11.2018 – 10.2019 w porównaniu do wartości średnich z wielolecia 1971-2000 (norma)*

Sytuacja uległa znaczącej poprawie w grudniu 2018 r. i styczniu 2019 r., kiedy to sumy miesięczne opadów atmosferycznych na przeważającym obszarze kraju przekroczyły wartości średnie z wielolecia 1971-2000 (przyjęte jako norma) i stanowiły analogicznie 138% i 139% normy. W lutym i w marcu sumy opadów średnio w Polsce zbliżone były do normy, choć od ostatniej dekady marca zaczęto obserwować niedobór opadów. Niedobór ten przeciągnął się na cały kwiecień, który w wyniku tej sytuacji prawie w całej Polsce był odnotowany jako miesiąc suchy. Jedynie na krańcach południowych i w części Małopolski opady były znacząco wyższe w ostatniej dekadzie kwietnia. Tymczasem przebieg warunków pogodowych w maju zmienił sytuację na większości obszaru kraju. Średnia suma opadów w Polsce wskazuje na to, że był to najbardziej wilgotny miesiąc w całym roku hydrologicznym 2019 (prawie 150% normy). Największe odchylenia od normy notowano na stacjach meteorologicznych w Polsce północno-wschodniej i południowej: Bielsko Biała (275% normy), Olsztyn (261%), Kielce (239%), Zamość (229%). W wielu miejscach Podkarpacia i Małopolski doszło do zalania budynków, dróg i pól uprawnych, a z zagrożonych obszarów ewakuowano mieszkańców. Rozkład dekadowych sum opadów na wybranych stacjach synoptycznych IMGW-PIB przedstawiono na rysunku 2.



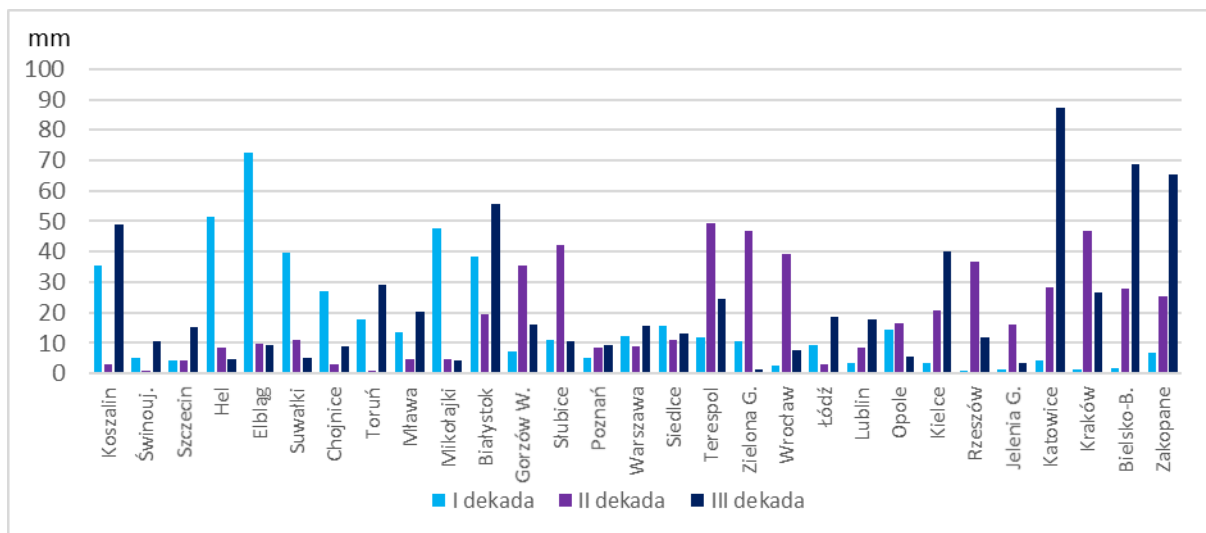
Rys. 2. Sumy dekadowe opadów atmosferycznych w maju 2019 r. na wybranych stacjach synoptycznych w Polsce

Po kwietniowej suszy i majowych podtopieniach w czerwcu po raz kolejny warunki meteorologiczne uległy zasadniczej zmianie. Pierwsze dni miesiąca to brak opadów na większości obszarów. Deszcz obserwowano przede wszystkim na stacjach w Polsce północno-zachodniej (rys. 3), przy czym zdecydowanie przeważały typowe dla tej pory roku opady o charakterze przelotnym, lokalnie o dużym natężeniu. Jednak mimo pojedynczych dosyć wysokich opadów, czerwiec okazał się na większości terytorium Polski miesiącem bardzo suchym (25-49% normy) lub skrajnie suchym (poniżej 25% normy), jedynie na Pojezierzu Pomorskim był przeciętny (75-125% normy).



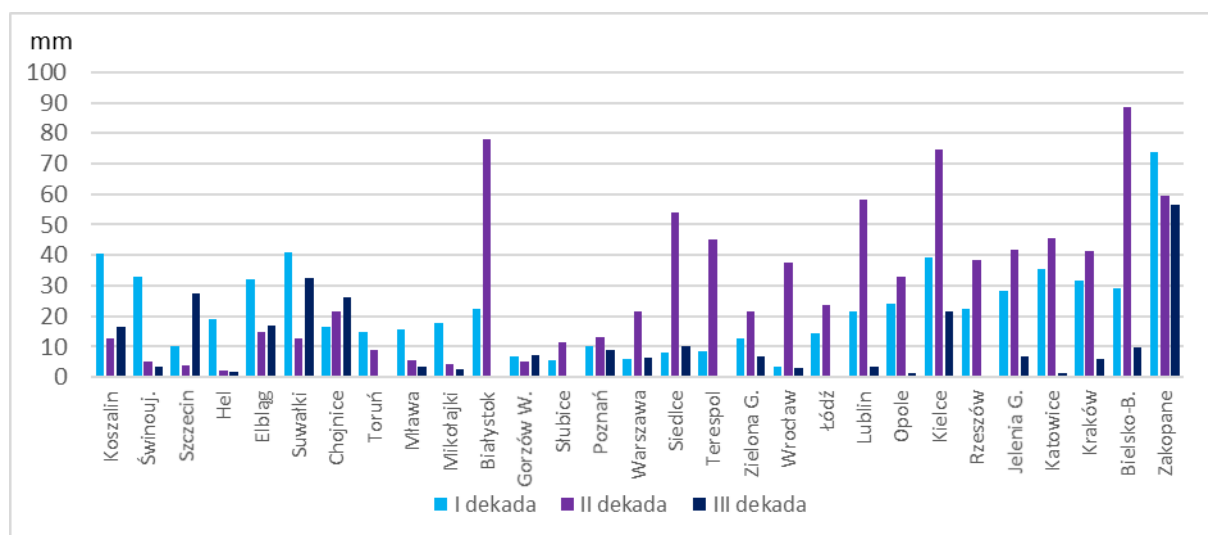
Rys. 3. Sumy dekadowe opadów atmosferycznych w czerwcu 2019 r. na wybranych stacjach synoptycznych w Polsce

Również w lipcu na przeważającej części stacji pomiarowych IMGW-PIB odnotowano niedobory opadów (średnio w Polsce odnotowano 69% normy), choć przełom drugiej i trzeciej dekady miesiąca przyniósł ulewne deszcze w Polsce południowo-wschodniej oraz na Mazowszu i Podlasiu (rys. 4), które doprowadziły do lokalnych podtopień.



Rys. 4. Sumy dekadowe opadów atmosferycznych w lipcu 2019 r. na wybranych stacjach synoptycznych w Polsce

W pierwszych dniach sierpnia w Polsce nadal brakowało opadów. 7 sierpnia nad Polską południową, południowo-wschodnią i północno-zachodnią przeszły liczne nawałnice i burze, miejscami z gradem. Kolejna fala opadów wystąpiła 20 sierpnia i objęła szeroki pas kraju od Sudetów poprzez Nizinę Mazowiecką aż po Nizinę Podlaską. Natomiast ostatnia dekada sierpnia była najbardziej sucha w całym miesiącu (rys. 5) i to mimo nawałnic, jakie nawiedziły Wielkopolskę i lokalnie południe kraju. Najtragiczniejsze w skutkach burze wystąpiły w Tatrach – 22 sierpnia na Gubałówce oraz 30 sierpnia na Kasprowym Wierchu.

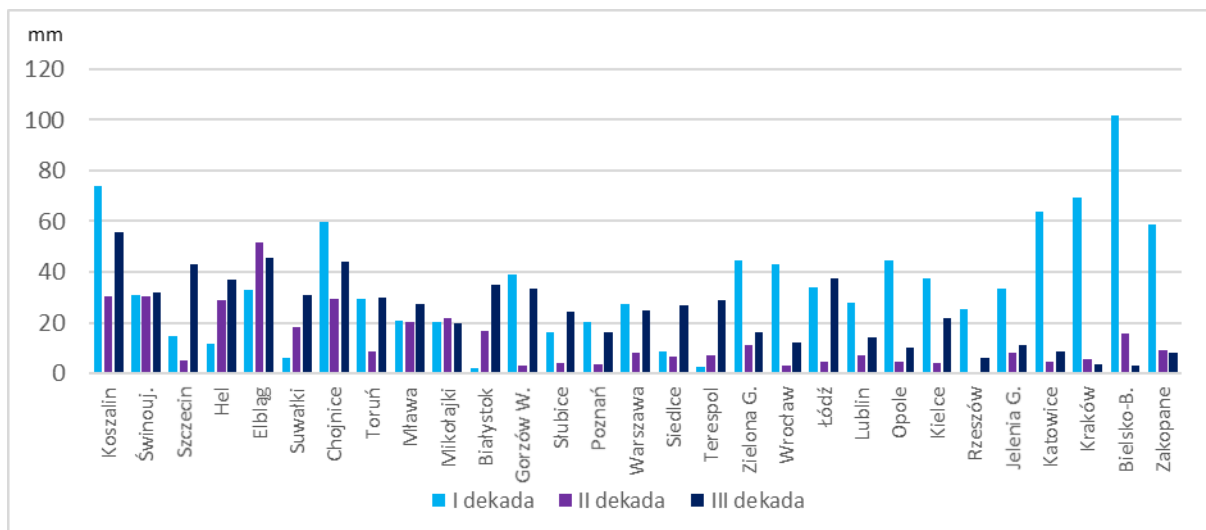


Rys. 5. Sumy dekadowe opadów atmosferycznych w sierpniu 2019 r. na wybranych stacjach synoptycznych w Polsce

Choć średnio w Polsce suma opadów za sierpień była bardzo zbliżona do normy (ponad 90% średniej z wielolecia), to w województwach południowo-wschodnich i południowych znacznie tę normę przekraczała. Na Pojezierzu Pomorskim była zbliżona do normy. Natomiast w pasie centralnym, od Ziemi Lubuskiej, poprzez Wielkopolskę i Mazowsze, aż po Lubelszczyznę i część Pojezierza Mazurskiego, odnotowano istotne niedobory wilgoci. Na wymienionych obszarach sierpień należał do suchych (50-74% normy) lub nawet bardzo suchych (24-49% normy).

Bardziej wilgotny okazał się wrzesień, w którym odnotowano średnio prawie 130% normy opadu, a szczególnie pierwsza dekada miesiąca. Sumy miesięczne opadów wskazują, że wrzesień ten należał do bardzo wilgotnych, a miejscami nawet skrajnie

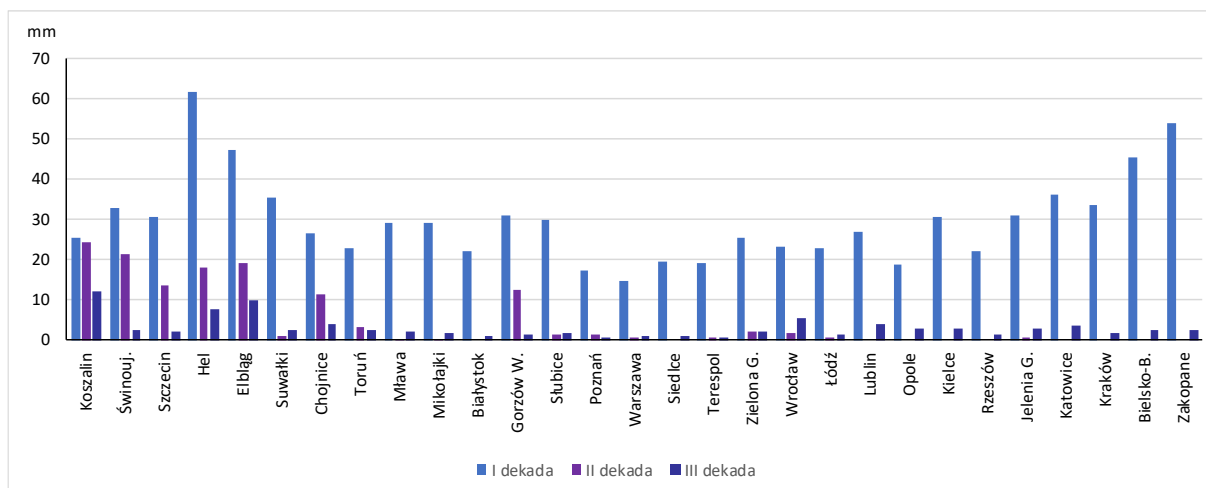
wilgotnych, szczególnie w Polsce Północnej, tj. na terenie pobrzeży oraz pojezierzy Pomorskiego i Mazurskiego (rys. 6).



*Rys. 6. Sumy dekadowe opadów atmosferycznych we wrześniu 2019 r. na wybranych stacjach synoptycznych w Polsce*

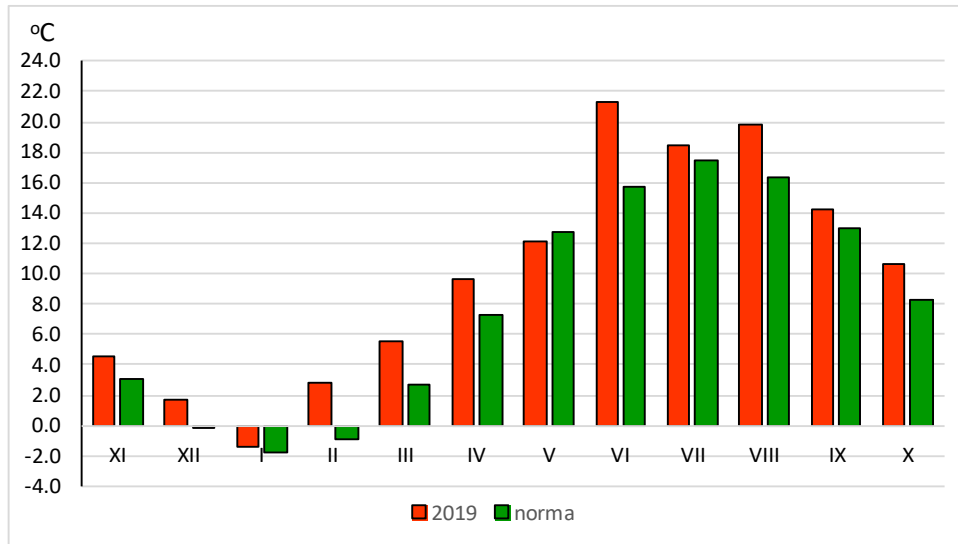
Ostatni miesiąc roku hydrologicznego 2019, październik, na większości obszaru kraju cechował się opadami nieco poniżej normy (średnio w Polsce 86% normy). Na przeważającym obszarze był to okres suchy i bardzo suchy, a lokalnie w centrum, na wschodzie i południu nawet skrajnie suchy. Równocześnie miejscami w Małopolsce i na Pojezierzu Mazurskim było wilgotno i bardzo wilgotno. Równocześnie można było zaobserwować duże zróżnicowanie w opadach (rys. 7) pomiędzy poszczególnymi dekadami tego miesiąca (wilgotna I dekada, ekstremalnie sucha II dekada z wyjątkiem krańców północnych, bardzo sucha III dekada).





*Rys. 7. Sumy dekadowe opadów atmosferycznych w październiku 2019r. na wybranych stacjach synoptycznych w Polsce*

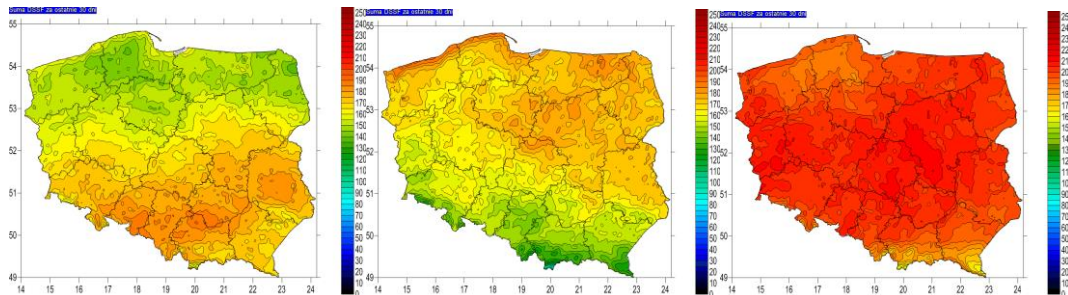
Znacznie mniejsze zróżnicowanie w całym roku hydrologicznym 2019 zaobserwowano w rozkładzie średnich miesięcznych temperatur powietrza. We wszystkich miesiącach temperatury te były wyższe od normy (rys. 8). Wyjątkiem był jedynie maj, który był zarówno najbardziej wilgotny w całym roku, jak i nieco chłodniejszy od normy (średnio w Polsce o 0,7°C).



Rys. 8. Średnie miesięczne temperatury powietrza w Polsce w okresie 11.2018 – 10.2019 na tle wartości średnich z wielolecia 1971-2000 (norma)

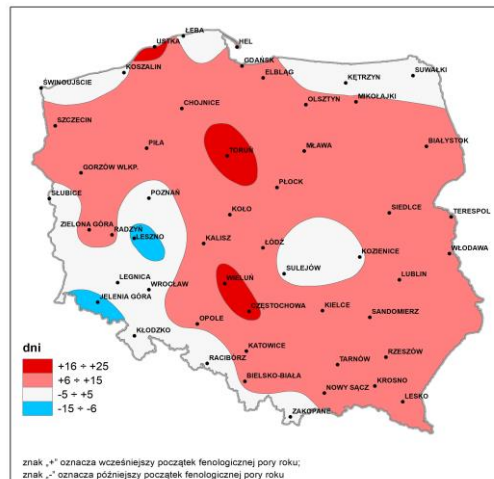
Wyjątkowo duże dodatnie odchylenie temperatur powietrza od średniej z wielolecia odnotowano w czerwcu: od +4,0-4,5°C (Elbląg, Lesko, Kołobrzeg, Zamość) do +6,1-6,6°C (Leszno, Piła, Łódź, Sulejów, Kraków, Wieluń, Warszawa, Słubice, Zielona Góra). Największe odchylenie od normy zaobserwowano w Poznaniu (7,0°C powyżej normy). Miesiąc ten okazał się najcieplejszym czerwcem w historii pomiarów na naszych ziemiach. Wyżowa pogoda przez większość czerwcowych dni wpłynęła na to, że niebo było często bezchmurne lub przysłonięte w niewielkiej części chmurami typu Cumulus i suma miesięczna promieniowania słonecznego docierającego do powierzchni ziemi za cały czerwiec była istotnie wyższa, niż na przykład w analogicznym miesiącu dwóch poprzednich lat (rys. 9).





Rys. 9. Suma miesięczna energii promieniowania krótkofalowego docierającego do powierzchni ziemi za czerwiec: w 2017 roku (lewy), 2018 roku (środkowy) oraz 2019 roku (prawy) – na podstawie obrazów satelitarnych

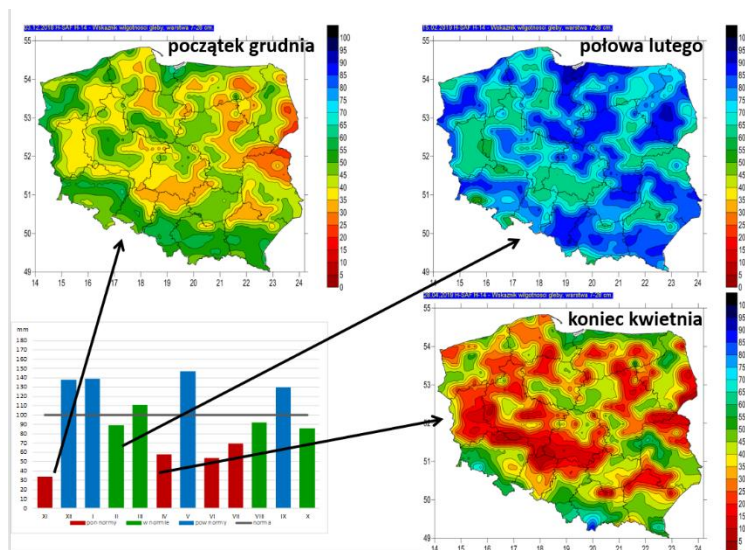
W 2019 roku, po znacznie cieplejszym od średniej lutym i marcu, wyjątkowo wcześniej ruszyła też wegetacja. W rezultacie pierwsza fenologiczna pora roku (zaranie wiosny) rozpoczęła się na większości obszarów Polski o około 6-15 dni wcześniej niż przeciętnie, a miejscami nawet o trzy tygodnie wcześniej (rys. 10). Jednak ochłodzenie, które przyszło w maju przyhamowało nieco dalszy rozwój wegetacji i kolejne fenologiczne pory roku nie były już tak przyspieszone.



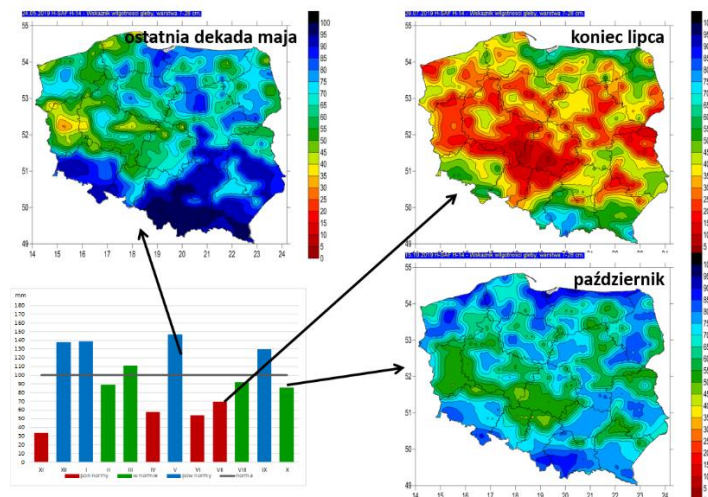
Rys. 10. Odchylenie daty początku zarania wiosny w 2019 r. od średniej z lat 2007-2016

Zmienne, okresami bardzo niskie, sumy opadów atmosferycznych, w połączeniu ze znacznie wyższymi od normy temperaturami powietrza w kolejnych miesiącach (z wyjątkiem maja), które wpłynęły na istotny wzrost ewapotranspiracji (tj. parowania z gleby i roślin), spowodowały okresowy niedobór wilgoci w glebie i rozwój suszy rolniczej na znacznych

obszarach kraju. Zmienność wilgotności gleby w płytkiej strefie korzeniowej pod wpływem opadów atmosferycznych pokazano na poniższych ilustracjach (rys. 11 i 12).

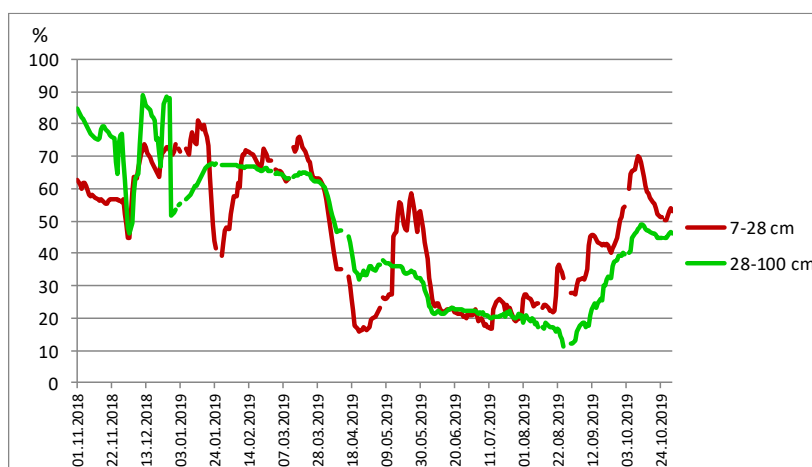


Rys. 11. Wilgotność gleby na głębokości 7-28 cm (na podstawie obrazów satelitarnych) i jej związek z wysokością sum opadów atmosferycznych w wybranych okresach 2019r.



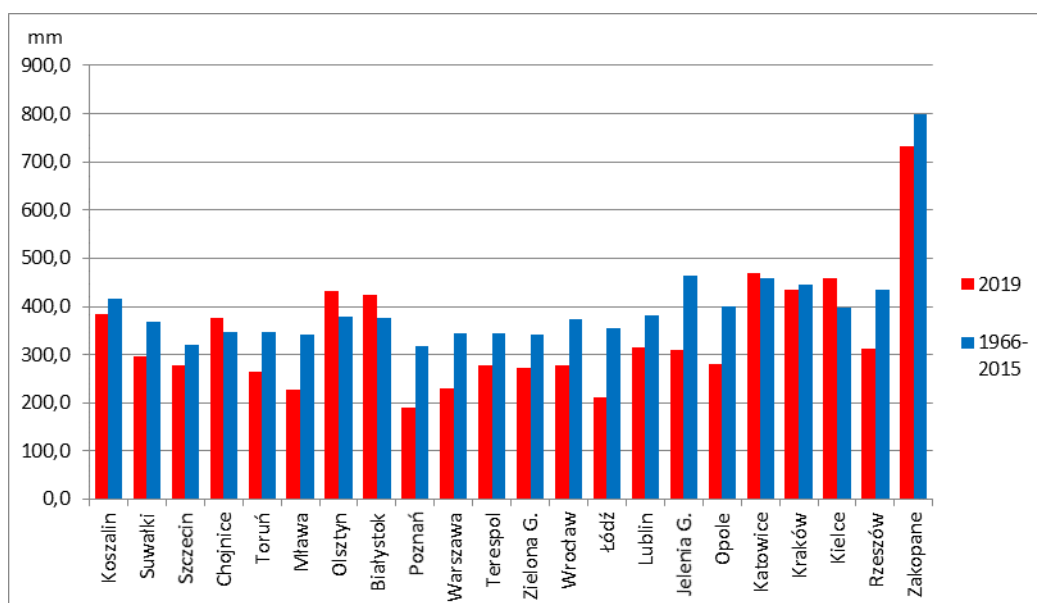
Rys. 12. Wilgotność gleby na głębokości 7-28 cm (na podstawie obrazów satelitarnych) i jej związek z wysokością sum opadów atmosferycznych w wybranych okresach 2019 r.

Instytut Upraw Nawożenia i Gleboznawstwa (IUNG-PIB) w swoim raporcie za okres 1.05 – 30.06 stwierdził wystąpienie suszy rolniczej na obszarze Polski. Średnia wartość klimatycznego bilansu wodnego (*KBW*) tj. różnicy między opadem jako przychodem a ewapotranspiracją jako rozchodem wody, na podstawie którego dokonywana jest ocena stanu zagrożenia suszą, była ujemna i wyniosła –87 mm, przy czym największy deficyt wody odnotowano na obszarze Pojezierza Lubuskiego oraz w zachodniej części Pojezierza Wielkopolskiego, na Nizinie Wielkopolskiej, Śląskiej, Podlaskiej, w południowej części Niziny Mazowieckiej, na Polesiu Lubelskim oraz we wschodniej części Pobrzeża Słowińskiego (deficyt na tych obszarach wyniósł od –160 do –230 mm). W kolejnym okresie raportowania, tj. od 1.06 do 31.07, wartość klimatycznego bilansu wodnego *KBW* uległa zmniejszeniu o 40 mm w stosunku do poprzedniego okresu, obejmując jednak nadal podobne obszary. Sytuacja ta nie uległa znaczącej poprawie w następnym okresie (1.07 – 31.08) i nadal stwierdzano występowanie suszy rolniczej na obszarze Polski, mimo niewielkiego wzrostu wartości *KBW*. Wyjątkowo niekorzystną sytuację w zakresie klimatycznego bilansu wodnego obrazuje przebieg wilgotności gleby w powiecie gostyńskim, leżącym w objętych suszą województwie wielkopolskim (rys. 13).



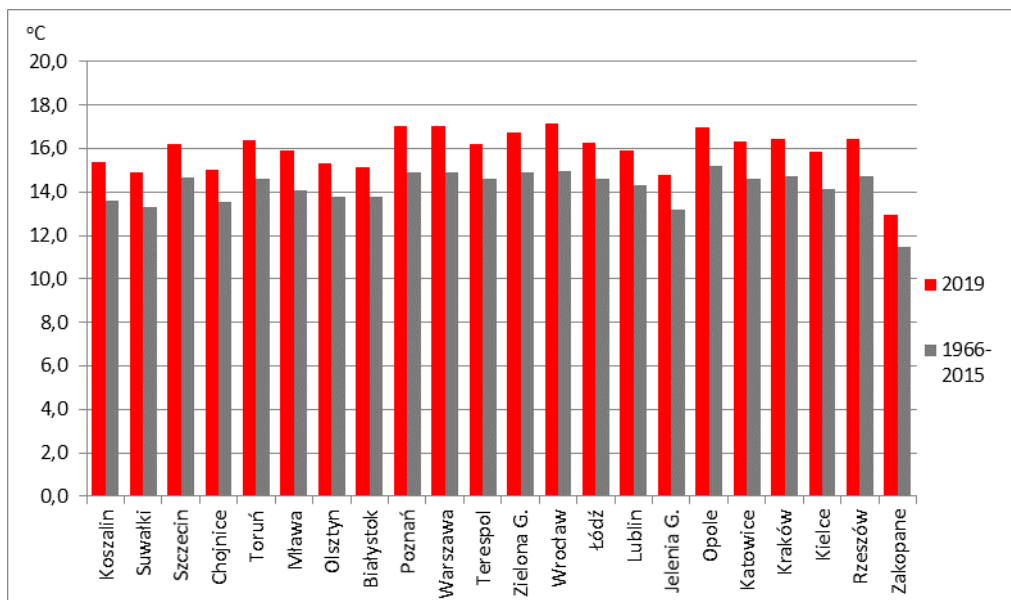
Rys. 13. Przebieg wilgotności gleby w roku hydrologicznym 2019 na dwóch głębokościach na podstawie danych satelitarnych – wartości średnie dla powiatu gostyńskiego

Po analizie danych pomiarowych IMGW-PIB należy stwierdzić, że okres wegetacyjny (od kwietnia do końca września) w 2019 r. charakteryzował się niższymi sumami opadów atmosferycznych od średniej z 50-letniego ciągu obserwacyjnego 1966-2015 na większości obszarów kraju (rys. 14). Równocześnie na wszystkich stacjach synoptycznych odnotowano istotnie wyższe temperatury powietrza od średniej z wymienionego wielolecia (rys. 15).



Rys. 14. Sumy opadów atmosferycznych w okresie wegetacyjnym w 2019 r. na tle wielolecia 1966-2015

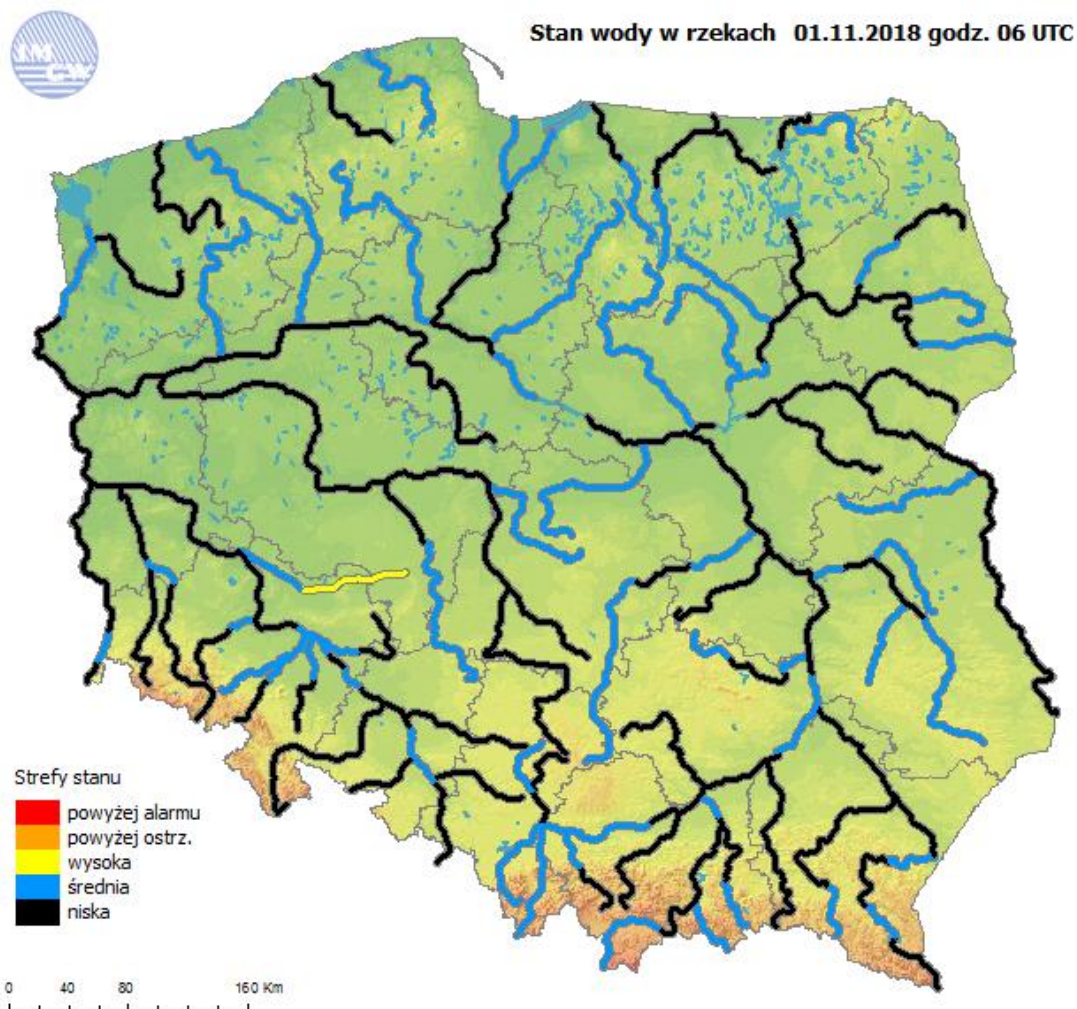




*Rys. 15. Średnie temperatury powietrza w okresie wegetacyjnym w 2019 r. na tle wielolecia 1966-2015*

Opisany przebieg warunków meteorologicznych spowodował poważne straty w gospodarce, szczególnie w produkcji rolnej. Główny Urząd Statystyczny na początku października 2019 r. szacował nieco wyższą produkcję zbóż podstawowych w porównaniu do roku 2018, lecz niższe zbiory warzyw gruntowych i ziemniaków oraz istotnie niższe zbiory owoców z drzew w sadach i z krzewów owocowych, w porównaniu do ich rekordowej produkcji w 2018 roku. Powodem niższych zbiorów owoców były przede wszystkim wiosenne przymrozki (występujące na wielu plantacjach w czasie kwitnienia i zawiązywania owoców), przedłużająca się susza oraz przesilenie drzew owocowaniem w poprzednim rekordowym sezonie.

Rozkład czasowy i przestrzenny opadów atmosferycznych w roku hydrologicznym 2019 znalazł również odbicie w zmiennej sytuacji hydrologicznej.

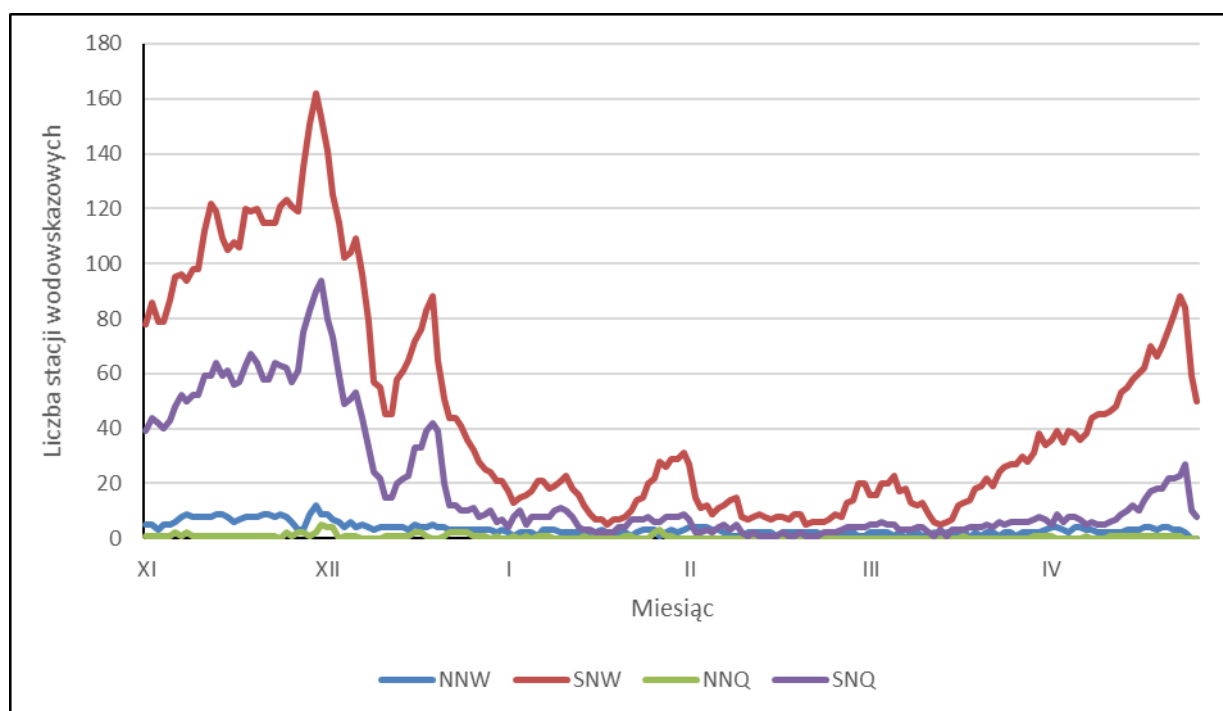


Rys. 16. Stan wody w rzekach w Polsce pierwszego dnia roku hydrologicznego 2019

Na początku ubiegłego roku hydrologicznego stany wód na rzekach w Polsce układały się głównie w strefie wody niskiej i średniej (rys. 16). W listopadzie nadal mieliśmy do czynienia z wieloma obszarami, gdzie występował stan suszy hydrologicznej zapoczątkowanej w poprzednich miesiącach. Wspomniany wcześniej niedobór opadów w pierwszym miesiącu roku hydrologicznego, dodatkowo pogłębił złą sytuację. Liczba stacji z przepływem poniżej SNQ wzrosła z 40 (stan na 01.11.2018 r.) do 92 (stan na 30.11.2018 r.). Podobną tendencję wykazywały stany wód. Liczba stacji ze stanem wody poniżej SNW wzrosła przez ten miesiąc o 91 – z 83 stacji pierwszego dnia do 174 ostatniego (rys. 17).



Suszą dotknięte były szczególnie południowe i zachodnie województwa. W ostatnich dniach listopada na rzekach południowej Polski pojawiły się pierwsze zjawiska lodowe, a na południu i wschodzie kraju utrzymywała się krótkotrwała i cienka pokrywa śnieżna.

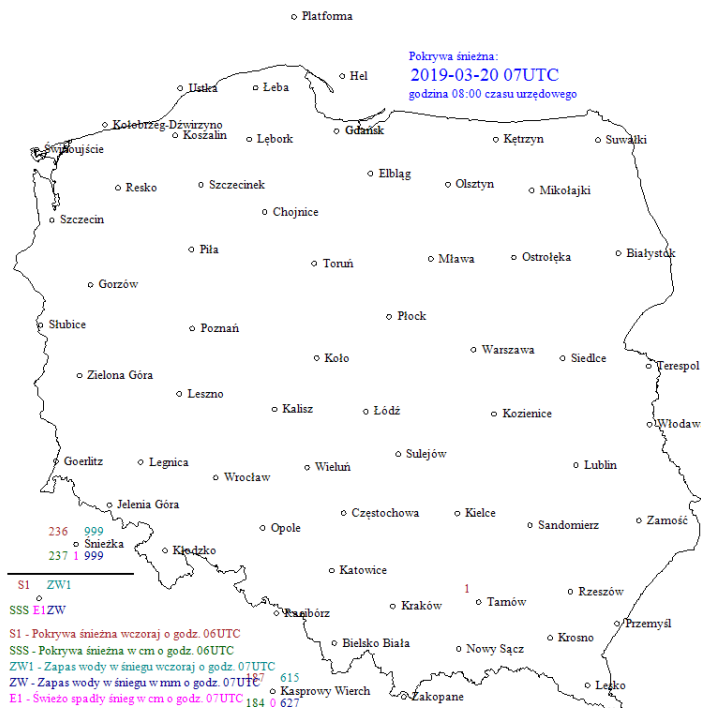


Rys. 17. Liczba stacji wodowskazowych ze stanem wody poniżej SNW i NNW oraz przepływem poniżej SNQ i NNQ w półroczu chłodnym (XI-IV) roku hydrologicznego 2019

Sytuacja hydrologiczna uległa chwilowej poprawie w okresie zimowym. Wyższe opady i niższe temperatury w grudniu, styczniu i w lutym, przyczyniły się do znaczącego zmniejszenia liczby stacji ze stanem wody i przepływem poniżej określonych granic. W połowie marca odnotowywane były jedynie pojedyncze przypadki takich stacji hydrologicznych (rys. 17). Zanotowane opady to głównie opady deszczu i deszczu ze śniegiem, co skutkowało brakiem długo utrzymującej się pokrywy śnieżnej. Wykluczało długotrwałą i znaczącą poprawę sytuacji hydrologicznej – przyczyniał się do tego szybki spływ powierzchniowy i brak magazynowania wody w śniegu.

W miesiącach zimowych stany wód utrzymywały się głównie w strefie wody średniej, lokalnie niskiej i wysokiej. Okresowe znaczące wzrosty, a nawet krótkotrwałe przekroczenia stanów alarmowych, spowodowane były głównie sztormową pogodą na Bałtyku (rzeki przymorza i stacje morskie), zjawiskami lodowymi (głównie zlewnia Wisły) i obfitymi opadami (zlewnia górnej Odry).

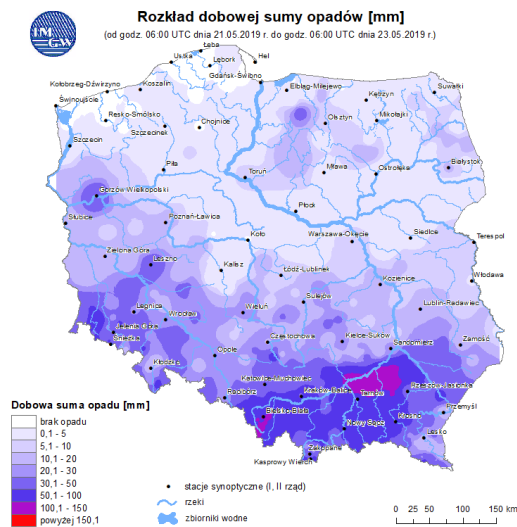
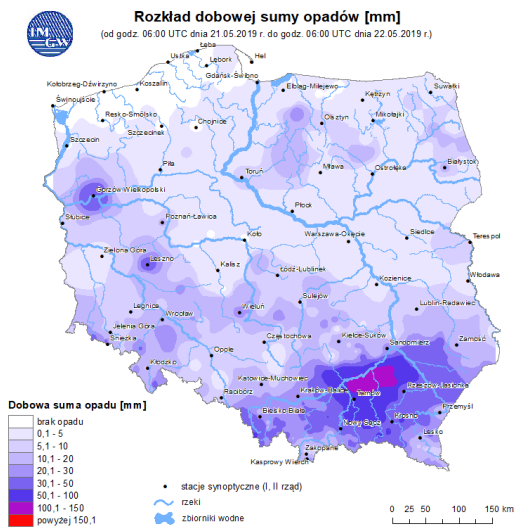
Przez całe półrocze chłodne temperatury były nieco wyższe od wieloletniej średniej, co nie sprzyjało długotrwałemu utrzymywaniu się pokrywy śnieżnej na znaczącym obszarze kraju. Najwięcej śniegu spadło we wschodniej i południowej Polsce. Tam w styczniu i w lutym utrzymywała się pokrywa śnieżna o grubości od kilku do kilkunastu centymetrów. Na stacjach Polski północno-zachodniej nie odnotowano pokrywy śnieżnej o ciągłości większej niż kilka dni i grubości przekraczającej kilka centymetrów. Znacznie więcej śniegu utrzymywało się w wysokich partiach gór. Na Kasprowym Wierchu w kulminacyjnym momencie zanotowano pokrywę śnieżną o grubości 235 cm (19.01.2019 r.), a na Śnieżce 237 cm (20.03.2019 r.). Warto zauważyć, że w dniu, gdy w Sudetach zarejestrowano tą maksymalną wartość, na większości innych stacji śniegu nie odnotowano (rys. 18).

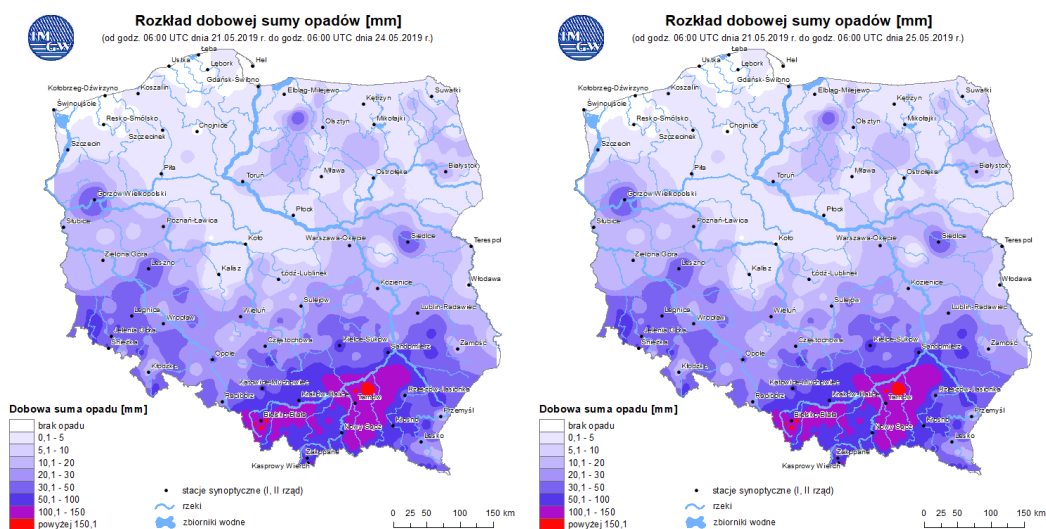


Rys. 18. Pokrywa śnieżna oraz zapas wody w śniegu na stacjach synoptycznych IMGW-PIB w dniu 20.03.2019 r

Wysokie temperatury i brak utrzymującej się pokrywy śnieżnej pozwoliły uniknąć w tym roku znaczących wezbrań roztopowych. Jednakże mała retencja śniegowa i niskie zasilanie rzek wodami roztopowymi spowodowały, że pomimo większych opadów w miesiącach zimowych, sytuacja hydrologiczna znów zaczęła się pogarszać w drugiej połowie marca. Bardzo małe opady i wysokie temperatury w kwietniu znów przyczyniły się do wzrostu zagrożenia niżówką hydrologiczną i stopniowego wzrostu liczby stacji z przepływami i stanami wody poniżej wartości SNQ i SNW.

W przeciwieństwie do kwietnia, maj był deszczowy i zimny na obszarze całego kraju. Kulminacja opadów nastąpiła między 21 a 23 maja, gdy nad Polskę południową nasunęła się bardzo silna strefa opadów. W niektórych miejscowościach podczas tych trzech dni odnotowywano sumy opadów dwu- i trzykrotnie przewyższające sumy miesięczne. Lokalnie, w okolicach Tarnowa i w południowej części województwa śląskiego, przekraczały one 150 mm – np. w Szczyrku było to 186 mm, w Radomyślu Wielkim 169 mm, w Brennej 161 mm, a w Straconce 159 mm (rys. 19). Największe miesięczne odchylenie, 275% normy opadowej, zanotowano na stacji w Bielsku Białej.

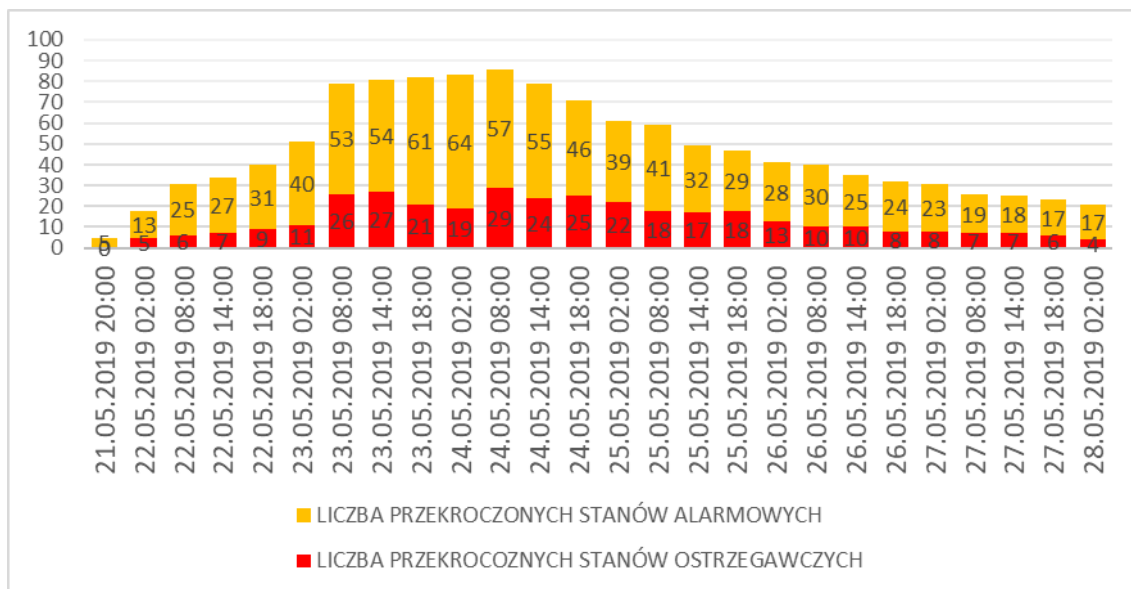




*Rys. 19. Rozkład dobowej sumy opadów (mm) w dniach 21-22.05, 21-23.05., 21-24.05 i 21-25.05.2019 r.*

Bardzo obfite, ciągle opady deszczu przyczyniły się do szybkiego wzrostu poziomu wody na rzekach w górnych częściach dorzecza Wisły i Odry. Oprócz sytuacji pogodowej, na kształt i intensywność wezbrania wpływała sytuacja hydrologiczna. Po wcześniejszych majowych opadach większość rzek południowej Polski znajdowała się w środkowej i górnej strefie stanów średnich. Dodatkowo długotrwały brak opadów w kwietniu przyczynił się do przesuszenia gruntu, co intensyfikowało spływ powierzchniowy do rzek.

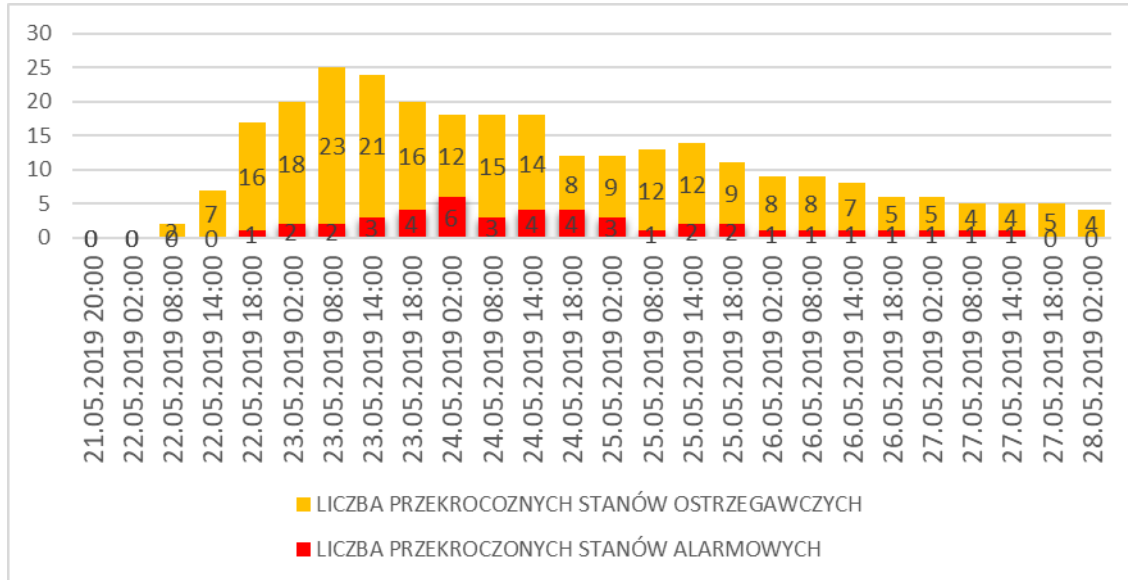
Wezbranie z przełomu maja i czerwca miało intensywniejszy przebieg w dorzeczu Wisły. W szczytowym momencie wezbrania stan alarmowy był przekroczony na 29 stacjach wodowskazowych (rys. 20). Na dopływach Wisły największy dobowy wzrost stanu wody zanotowano na Wiśloce w Pustkowie – o 487 cm. Na Białej w Czechowicach-Bestwinie stan alarmowy został przekroczony o 188 cm. Jeśli chodzi o samą Wisłę, to kulminacja fali wezbraniowej wystąpiła w Zawichoście, gdzie stan wody przekroczył stan alarmowy o 149 cm. W Warszawie, na stacji wodowskazowej Warszawa-Bulwary, do przekroczenia granicy stanu alarmowego zabrakło 21 cm.



Rys. 20. Liczba stacji w dorzeczu Wisły z przekroczeniami stanów ostrzegawczych i alarmowych w czasie wezbrania w maju 2019 r. (na 485 stacji)

W dorzeczu Odry wezbranie miało łagodniejszy przebieg z powodu krótszych i mniej intensywnych opadów (rys. 21). Maksymalne przekroczenie stanu alarmowego miało miejsce w Krzyżanowicach na Odrze (o 81 cm), a największy dobowy wzrost stanu wody zanotowano w Ręczynie na Witce (o 190 cm). Fala wezbraniowa na Odrze zaczęła opadać znacznie szybciej niż na Wiśle. Poniżej Kostrzyna nad Odrą stany wody osiągnęły jedynie poziom wody średniej.

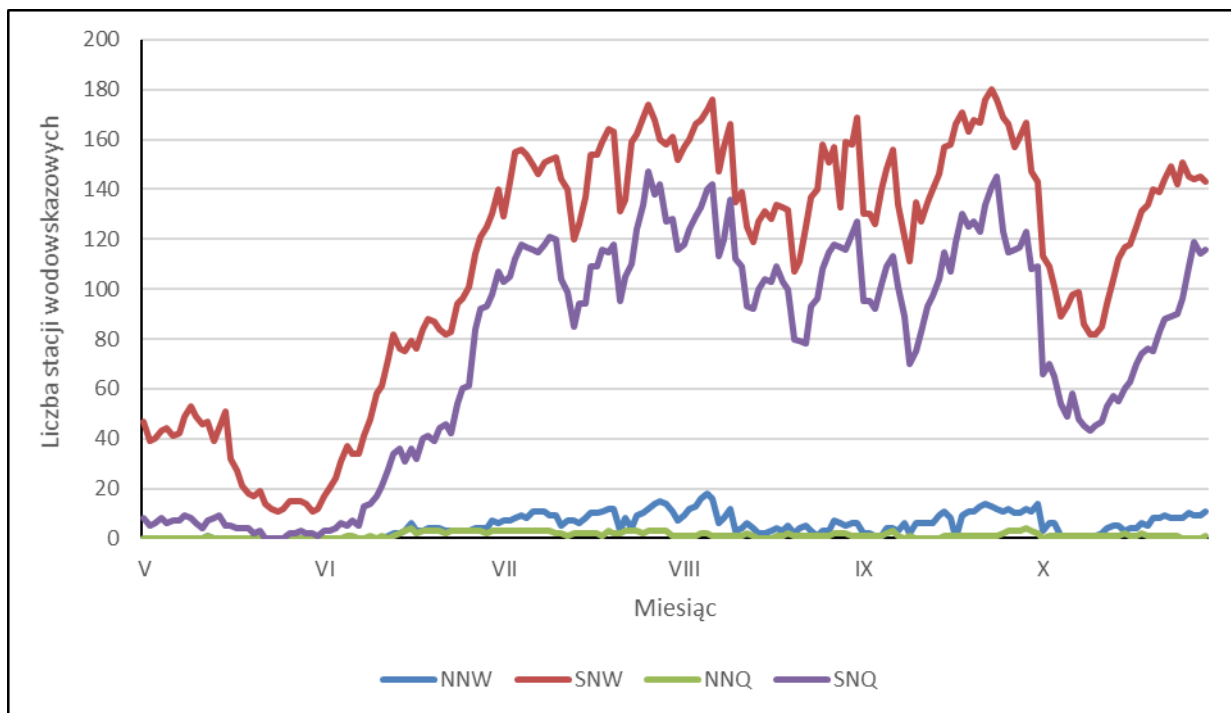




Rys. 21. Liczba stacji w dorzeczu Odry z przekroczeniami stanów ostrzegawczych i alarmowych w czasie wezbrania w maju 2019 r. (na 329 stacji)

Na początku czerwca, w związku z niedawnym wezbraniem, liczba stacji z niskimi przepływami i stanami wód uległa znaczącemu zmniejszeniu. Niestety, tuż po przejściu fali wezbraniowej, na większości rzek w Polsce poziom wody znów zaczął szybko opadać (rys. 22). Przyczyniły się do tego rekordowo wysokie temperatury w czerwcu, znacznie wyższe od średniej wieloletniej. Dodatkowo w tym miesiącu odnotowano bardzo niskie opady. Te czynniki, w połączeniu z intensywną vegetacją roślin, miały znaczący wpływ na ponowne pojawienie się suszy hydrologicznej w wielu miejscach Polski.





Rys. 22. Liczba stacji wodowskazowych ze stanem wody poniżej SNW i NNW oraz przepływem poniżej SNQ i NNQ w półroczu ciepłym (V-X) roku hydrologicznego 2019

W kolejnych miesiącach susza utrzymywała się, a liczba stacji z niskimi stanami i przepływami zmniejszała się tylko po intensywnych opadach burzowych (rys. 22). Opady o takim charakterze nie były w stanie na długo uzupełnić zasobów wodnych i sytuacja wracała do stanu poprzedniego po kilku dniach. Zaistniałe warunki spowodowały również lokalne obniżenia poziomu płytkich wód podziemnych. Wpłynęło to na indywidualne i komunalne ujęcia wody w niektórych częściach kraju. Sytuacja zaczęła poprawiać się na początku października, po kilkudniowych i dość intensywnych opadach ciągłych. Była to tylko chwilowa zmiana, a późniejsze wysokie temperatury i stosunkowo niskie opady przyczyniły się do tego, że stan suszy hydrologicznej utrzymywał się pod koniec roku hydrologicznego na dużych obszarach górnych i środkowych dorzeczy Wisły i Odry. W ostatnim dniu ubiegłego roku hydrologicznego przepływy poniżej SNQ odnotowano na 117 stacjach wodowskazowych, a stany wody niższe niż SNW na 154 punktach pomiarowych.



**IMGW-PIB**  
**Biuro Prasowe**  
**Twitter: [twitter.com/IMGWmeteo](https://twitter.com/IMGWmeteo)**  
**E. [biuroprasowe@imgw.pl](mailto:biuroprasowe@imgw.pl)**  
**T. (+48) 503 122 100**

W chwili obecnej, czyli w pierwszych miesiącach 2020 roku hydrologicznego, stany wody w Polsce utrzymują się w strefie wody niskiej i średniej. Niżówka hydrologiczna nadal występuje w wielu miejscach kraju, co jest rzadko spotykane o tej prze roku. Poprawę sytuacji hydrologicznej mogłoby zapewnić długie zaleganie znaczącej pokrywy śnieżnej i związane z tym intensywne roztopy wiosenne. Niestety, obecne analizy długoterminowe nie przewidują takiej sytuacji. Grozi to dalszym pogłębianiem się suszy i zmniejszaniem zasobów wodnych kraju w 2020 roku, szczególnie w przypadku ciepłych miesięcy letnich.

*Opracowanie: Małgorzata Kępińska-Kasprzak, Grzegorz Walijewski, Michał Sikora-Le*

Dodatkowe informacje 24/h:  
IMGW-PIB  
Biuro Prasowe  
Twitter: <https://twitter.com/IMGWmeteo>  
E. [biuroprasowe@imgw.pl](mailto:biuroprasowe@imgw.pl)  
T. (+48) 503 122 100

IMGW-PIB jest ogólnopolską służbą hydrologiczno-meteorologiczną. Świadczymy usługi związane z oceanografią, pogodą i klimatem dla sił zbrojnych, instytucji rządowych, społeczeństwa, lotnictwa cywilnego, żeglugi, przemysłu, rolnictwa i biznesu. Od 1919 roku prognozujemy pogodę, przeprowadzamy analizy i badania. Jesteśmy Instytutem skupiającym wysokiej klasy specjalistów i dysponujemy niezbędną infrastrukturą do pracy nad nim. Pogoda i klimat to jeden z najważniejszych tematów we współczesnym świecie. Więcej: [www.imgw.pl](http://www.imgw.pl) [www.pogodynka.pl](http://www.pogodynka.pl)